

Solução da Equação de Poisson-Boltzman Aplicação na Membrana do Neurônio Humano

¹Marilia Amável Gomes Soares
²Frederico Alan de Oliveira Cruz
³Célia Martins Cortez

¹Escola de Ciências da Saúde, Universidade do Grande Rio

²Mestrado Profissional em Ensino de Ciências na Educação Básica, Universidade do Grande Rio

³Departamento de Fisiologia, Universidade do Estado do Rio de Janeiro

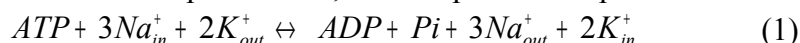
Resumo: Com já demonstrado em trabalho anterior as equações que descrevem a dependência espacial do potencial elétrico são determinadas pela solução da equação de Poisson-Boltzmann. Neste trabalho propomos essas soluções para a membrana do neurônio humano, utilizando um modelo simplificado para essa estrutura considerando a distribuição dos eletrólitos em cada lado da membrana, bem como o efeito do glicocálix e da bicamada lipídica. Nós assumimos que em ambos os lados da membrana as cargas estão homoganeamente distribuídas e que o potencial depende apenas das coordenada z .

Abstract: With already demonstrated in previous work the equations that describe the space dependence of the electric potential are determined by the solution of the equation of Poisson-Boltzmann. In this work we consider these solutions for the membrane of the human neuron, using a model simplified for this structure considering the distribution of electrolytes in each side of the membrane, as well as the effect of glicocálix and the lipidic bilayer. It was assumed that on both sides of the membrane the charges are homogeneously distributed and that the potential depends only on coordinate z .

1. Introdução

Em todos os estudos já realizados sobre as concentrações iônicas das células de mamíferos foi observado que existe uma significativa diferença entre os meios extra e intracelular. Tal diferença é mantida pela própria célula, pois, muitas vezes, uma substância que tem pouca importância funcional num dos lados da membrana é de grande importância no outro [1]. Um exemplo desse fenômeno ocorre com os íons de sódio (Na^+) e potássio (K^+), já que este último é mais abundante dentro da célula do que no meio extracelular, sendo o contrário no caso do primeiro.

Devido às diferentes concentrações iônicas se estabelecem fluxos iônicos, naturalmente produzidos pelos princípios da equiosmolaridade e eletroneutralidade, que regem o equilíbrio entre as soluções intra e extracelulares. Dessa forma há fluxo constante de Na^+ para o interior da célula e um escoamento constante de K^+ para o fluido externo [2]. Entretanto, apesar do movimento desses íons favorecido pelos seus gradientes de concentração através da membrana, esses gradientes são mantidos, graças a um mecanismo que se opõe a este movimento. No caso destes íons, essa diferença de concentração é mantida pela quebra de uma molécula de ATP e com a participação de uma proteína Na^+-K^+ -adenosina-trifosfatase, comumente chamada bomba de Na^+-K^+ . Neste processo são “trocados” três Na^+ por dois K^+ , como representado pela cinética abaixo:



onde os índices in e out representam os íons nos meios intra e extracelular [3], ATP , ADP e Pi são adenosina trifosfato, adenosina difosfato e fosfato inorgânico respectivamente [4].

Além da importância funcional que esses íons possuem em cada lado da membrana, o gradiente existente está envolvido num grande número de processos, incluindo a manutenção do potencial de membrana, sendo a contribuição do Na^+ , do K^+ e do Cl^- ao potencial descrita pela expressão simplificada Goldman-Hodgkin-Katz (GHK):

$$\phi_{GHK} = \frac{RT}{F} \ln \left(\frac{P_K [K^+]_{out} + P_{Na} [Na^+]_{out} + P_{Cl} [Cl^-]_{in}}{P_K [K^+]_{in} + P_{Na} [Na^+]_{in} + P_{Cl} [Cl^-]_{out}} \right) \quad (2)$$

onde V representa o potencial em função da concentração iônica dos íons dentro e fora da célula, P_{Na} , P_K e P_{Cl} , as permeabilidades desses íons em relação a membrana, e R , T e F representam a constante universal dos gases, temperatura (em Kelvin) e a constante de Faraday respectivamente [5].

A grande limitação da equação *GHK* é que ela descreve apenas o potencial transmembranar, mas não o perfil de potencial existente em cada lado. O perfil descreve o comportamento do potencial em todos os pontos adjacentes ao longo de uma direção perpendicular à membrana e a sua determinação pode ser efetuada através de modelos teóricos [6,7,8,9] que levam em consideração as contribuições dos íons em cada lado da membrana e também das cargas fixas nas regiões adjacentes [10,11,12].

Neste trabalho analisamos a distribuição iônica dos íons Na^+ , K^+ e Cl^- a partir da equação que descreve o perfil de potencial da membrana do neurônio, levando em conta a permeabilidade da membrana a esses íons no estado de equilíbrio.

2. Modelo adotado

A membrana do neurônio é formada por uma bicamada fosfolipídica, contendo em sua estrutura ainda colesterol e proteínas [13], onde no arranjo dessa bicamada, estão colocados de cada lado da membrana, de forma contínua, uma cadeia de carboidratos [14]. Considerando esses conhecimentos e das estruturas celulares adotaremos para o nosso estudo o modelo mostrado na Figura 1.

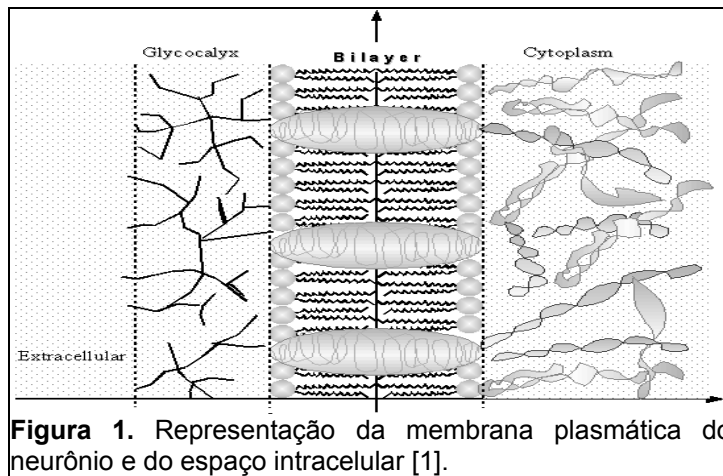


Figura 1. Representação da membrana plasmática do neurônio e do espaço intracelular [1].

Esse sistema é formado por quatro regiões, meio extracelular, glicocálix, bicamada lipídica e citoplasma, onde cada uma delas contribui para o potencial em cada ponto da membrana. Supondo que o potencial depende apenas das contribuições em uma determinada direção, o primeiro passo é determinar uma expressão que descreva o potencial em função da distância, para o potencial nas quatro regiões (Figura 2).

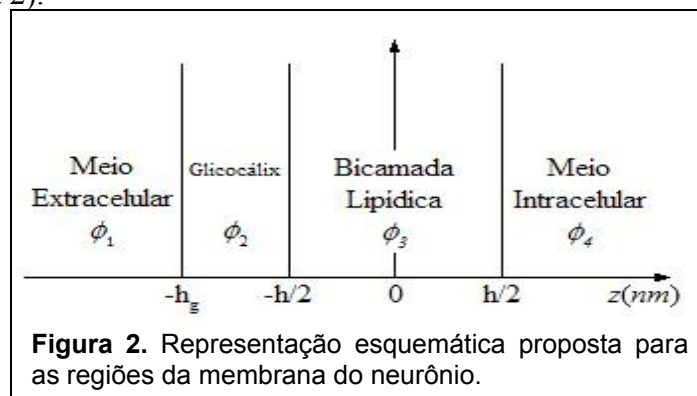


Figura 2. Representação esquemática proposta para as regiões da membrana do neurônio.

Como estamos supondo que o sistema possua comportamento eletrostático, a lei de Faraday será reescrita como:

$$\vec{\nabla} \times \vec{E} = 0 \quad (3)$$

o que nos permite definir que o campo elétrico está relacionado ao potencial escalar da forma:

$$\vec{E} = -\vec{\nabla} \phi \quad (4)$$

Mas pela lei de Gauss na forma diferencial, temos que:

$$\vec{\nabla} \cdot \vec{D} = \rho \quad (5)$$

onde, \vec{D} , é o vetor deslocamento elétrico e ρ é a densidade de carga na região considerada. Pela equação constitutiva $\vec{D} = \epsilon \vec{E}$ e pela equação (4), supondo que o meio seja homogêneo e isotrópico, a equação (5) é reescrita na forma:

$$\vec{\nabla}^2 \phi = -\frac{\rho}{\epsilon} \quad (6)$$

chamada de equação de Poisson para o potencial escalar [15]. Como nosso problema trata de de quatro regiões com distribuições volumétricas de cargas distintas, podemos escrever a equação (6) na forma:

$$\vec{\nabla}^2 \phi_i = -\frac{\rho_i}{\epsilon_i} \quad (7)$$

onde ρ_i representa a densidade de cargas, ϕ_i o potencial e ϵ_i a permissividade em cada região, onde $i = 1$ representa o meio extracelular, $i = 2$ a região do glicocálix, $i = 3$ a bicamada lipídica e $i = 4$ o meio intracelular.

Num sistema biológico composto por cargas imersas em meio aquoso contendo eletrólitos, a carga total do meio será dada pela soma algébrica das cargas fixas do meio, ρ_f , e das cargas dos eletrólitos dissolvidos no solvente, consideradas como cargas móveis, ρ_m , determinada pela distribuição de Boltzmann [16]:

$$\rho_m = \sum_j q_{ij} \eta_{ij} \exp\left[-\frac{q_{ij} \phi_i}{k_B T}\right] \quad (8)$$

onde q é a carga correspondente a cada íon, η é a densidade de íons do tipo j por unidade de volume na região considerada, ϕ é o potencial eletrostático na região considerada, k_B é a constante de Boltzmann e T a temperatura absoluta.

No caso das regiões 1 e 4 consideramos que a distribuição volumétrica de cargas, ρ , é dada apenas pela distribuição de Boltzmann não havendo cargas fixas, fornecendo para essas regiões a expressão:

$$\vec{\nabla}^2 \phi_i = -\frac{1}{\epsilon_i} \sum_j q_{ij} \eta_{ij} \exp\left[-\frac{q_{ij} \phi_i}{k_B T}\right] \text{ onde } i = 1 \text{ ou } 4 \quad (9)$$

para a região 2, que refere-se ao glicocálix, supomos haver uma distribuição fixa de cargas além das cargas móveis que eventualmente atravessam estrutura, sendo assim temos que:

$$\vec{\nabla}^2 \phi_2 = -\frac{1}{\epsilon_2} \left(\rho_f + \sum_j q_{2j} \eta_{2j} \exp\left[-\frac{q_{2j} \phi_2}{k_B T}\right] \right) \quad (10)$$

Agora, considerando apenas os íons monovalentes e a condição de eletroneutralidade para a distribuição, tal qual como o realizado para a membrana do eritrócito [17], podemos reescrever as expressões (9) e (10) como:

$$\vec{\nabla}^2 \phi_i = -2 \frac{q_i \eta_{0i}}{\epsilon_i} \sinh\left[\frac{q_i \phi_i}{k_B T}\right] \text{ onde } i = 1 \text{ ou } 4 \quad (11)$$

$$\vec{\nabla}^2 \phi_2 = -\frac{1}{\epsilon_2} \left(\rho_f + 2q_2 \eta_{22} \sinh\left[\frac{q_2 \phi_2}{k_B T}\right] \right) \quad (12)$$

que são as equações de Poisson-Boltzmann para as regiões 1, 4 e 2 respectivamente. Finalmente para a região 3, que designa a bicamada lipídica, consideramos que $\rho = 0$, visto que a densidade de cargas elétricas positivas e negativas são iguais, fornecendo assim:

$$\bar{\nabla}^2 \phi_3 = 0 \quad (13)$$

Ficamos, assim, de posse de todas as equações necessárias para a determinação do perfil de potencial da nossa distribuição de cargas, para a membrana do neurônio.

3. Condições de assimetria e contorno

Para determinarmos o potencial em cada ponto do nosso modelo, inicialmente consideramos apenas que o potencial sofrerá variação apenas na direção z e a homogeneidade de cargas nas direções x e y [10]. Sendo assim as expressões do Laplaciano dependem apenas das distribuições em z , fornecendo:

$$\bar{\nabla}^2 \phi_i = \frac{d^2 \phi_i(z)}{dz^2} \quad (14)$$

Introduzimos também as seguintes condições de normalização baseados em dados da literatura [2] onde $\phi(-\infty) \neq \phi(\infty)$ visto que:

(i) No meio extracelular, em $z \rightarrow -\infty$, o potencial será:

$$\phi(-\infty) = 0$$

(ii) e no meio intracelular, em $z \rightarrow \infty$, o potencial será:

$$\phi(\infty) = -70 \text{ mV}$$

esse valores representam, respectivamente, os potenciais nos limites interno e externo.

Como existem cargas nas superfícies de separação das regiões, haverá, portanto, descontinuidade na componente normal do campo elétrico, tal que:

$$\text{Condição de contorno da derivada normal} \quad \begin{cases} \varepsilon_2 \phi_2'(-h_g) - \varepsilon_1 \phi_1'(-h_g) = \sigma_g \\ \varepsilon_3 \phi_3'(-\frac{h}{2}) - \varepsilon_2 \phi_2'(-\frac{h}{2}) = \sigma_1 \\ \varepsilon_4 \phi_4'(\frac{h}{2}) - \varepsilon_3 \phi_3'(\frac{h}{2}) = \sigma_2 \end{cases} \quad (15)$$

onde σ_i é a densidade superficial de carga nas superfícies que separam os meios.

A última das considerações necessárias para a obtenção das expressões está relacionada à descontinuidade sofrida pelo potencial elétrico devida a diferença de permeabilidade das regiões:

$$\text{Condição de contorno do potencial} \quad \begin{cases} \varepsilon_1 \phi_1(-h_g) = \varepsilon_2 \phi_2(-h_g) \\ \varepsilon_2 \phi_2(-\frac{h}{2}) = \varepsilon_3 \phi_3(-\frac{h}{2}) \\ \varepsilon_3 \phi_3(\frac{h}{2}) = \varepsilon_4 \phi_4(\frac{h}{2}) \end{cases} \quad (16)$$

4. Solução para as fases externa e interna

Para as regiões internas e externas as membrana a expressão a ser resolvida é a eq.(11), considerando a condição de homogeneidade das cargas na direções x e y , tal que:

$$\frac{d^2 \phi_i(z)}{dz^2} = -2 \frac{q \eta_i}{\varepsilon_i} \sinh \left[\frac{q_i \phi_i(z)}{k_B T} \right] \quad (17)$$

escrevendo de maneira mais simplificada, chamando:

$$a_i = -2 \frac{q_i \eta_i}{\varepsilon_i} \quad (18)$$

$$b_i = \frac{q_i}{k_B T} \quad (19)$$

Com o auxílio de (18) e (19), obtemos a eq.(17) na forma:

$$\frac{d^2 \phi_i(z)}{dz^2} = a_i \sinh[b_i \phi_i(z)] \quad (20)$$

A solução da eq.(20), em primeira ordem, nos fornece a expressão para o campo elétrico nas regiões internas e externas a membrana:

$$E_i(z) = - \frac{d\phi_i(z)}{dz} = - \sqrt{2 \frac{a_i}{b_i} \cosh[b_i \phi_i(z)] + \lambda_i} \quad (21)$$

onde λ_i é uma constante a ser determinada pela condições de contorno da respectiva membrana e que possui unidade de medida em volt por metro para que a mesma possa ser consistente com a análise dimensional da eq(21). Introduzindo a relação:

$$\frac{a_i}{b_i} = 2 \frac{\eta_i k_B T}{\varepsilon_i} = \xi_i \quad (22)$$

Voltando a equação (21) devemos lembrar que para regiões superiores a 1,5 nm da membrana o potencial deve ser contante, logo o campo elétrico deve ser nulo. Para a fase 1, meio externo, optamos pela análise do cosseno hiperbólico utilizando uma série de Taylor, em torno do ponto onde $\phi_i = 0$:

$$\cosh[b_1 \phi_1(z)] = 1 + \frac{1}{2} b_1^2 \phi_1^2 + \dots \quad (23)$$

substituindo (23) em (21), teremos:

$$E_1(z) = - \frac{d\phi_1(z)}{dz} = \mp \sqrt{2 \frac{a_1}{b_1} \left[1 + \frac{1}{2} b_1^2 \phi_1^2(z) + \dots \right] + \lambda_1} \quad (24)$$

Para $\phi_1(z) = 0$ devemos ter $E_1(z) = 0$, então obtemos que:

$$\lambda_1 = -2 \frac{a_1}{b_1} \quad (25)$$

fornecendo a relação:

$$E_1(z) = - \frac{d\phi_1(z)}{dz} = \mp \sqrt{a_1 b_1 [\phi_1(z)]^2 + \dots} \quad (26)$$

Após uma análise numérica dos termos e desprezando o termos de ordem superiores, pois contribuem pouco para os resultados encontrados, ϕ_1^2 podemos escrever:

$$E_1(z) = - \frac{d\phi_1(z)}{dz} \approx \mp \sqrt{a_1 b_1} \phi_1(z) \quad (27)$$

Resolvendo a equação (27), obtemos a expressão para o potencial elétrico:

$$\phi_1(z) = \phi_{1o1} e^{\sqrt{a_1 b_1} z} + \phi_{1o2} e^{-\sqrt{a_1 b_1} z} \quad (28)$$

Para a fase 4, meio interno, a série de Taylor foi expandida em torno do ponto $\phi_4 = -70$ mV, o que nos fornece:

$$\cosh[b_4 \phi_4(z)] = \cosh(-70 b_4) + \sinh(-70 b_4) b_4 [\phi_4(z) + 70] + \cosh^2(-70 b_4) \frac{b_4^2 [\phi_4(z) + 70]^2}{2} + \dots \quad (29)$$

Substituindo (29) na expressão (24) obtemos para a região 2:

$$E_4(z) = - \frac{d\phi_4(z)}{dz} = \mp \sqrt{2 \frac{a_4}{b_4} \cosh(-70 b_4) + 2 a_4 \sinh(-70 b_4) [\phi_4(z) + 70] + \frac{a_4 b_4}{2} \cosh^2(-70 b_4) [\phi_4(z) + 70]^2 + \dots + \lambda_4} \quad (30)$$

Para $\phi_4(z) = -70$ devemos ter $E_4(z) = 0$, então obtemos que:

$$\lambda_1 = -2 \frac{a_4}{b_4} \cosh(-70b_4) \quad (31)$$

forneendo a relação:

$$E_4(z) = -\frac{d\phi_4(z)}{dz} = \mp \sqrt{2a_4 \sinh(-70b_4)[\phi_4(z) + 70] + \frac{a_4 b_4}{2} \cosh^2(-70b_4)[\phi_4(z) + 70]^2 + \dots} \quad (32)$$

Fazendo a primeira substituição onde $V(z) = \phi_4(z) + 70$, teremos:

$$\frac{dV(z)}{dz} = \pm \sqrt{2a_4 \sinh(-70b_4)V(z) + \frac{a_4 b_4}{2} \cosh^2(-70b_4)V(z)^2 + \dots} \quad (33)$$

Desprezando os termos de ordem superior a 2 pois novamente eles pouco influenciam em nossos resultados, obtemos:

$$\frac{dV(z)}{dz} \approx \pm \sqrt{2a_4 \sinh(-70b_4)V(z) + \frac{a_4 b_4}{2} \cosh^2(-70b_4)V(z)^2} \quad (34)$$

Transformando a expressão acima num quadrado perfeito, teremos:

$$\frac{dV(z)}{dz} \approx \pm \sqrt{\left(\sqrt{\frac{a_4 b_4}{2}} \cosh(-70b_4)V(z) + \sqrt{\frac{2a_4}{b_4}} \tanh(-70b_4) \right)^2 - \frac{2a_4}{b_4} \tanh^2(-70b_4)} \quad (35)$$

Colocando o termo que possui a tangente hiperbólica em evidência, teremos:

$$\frac{dV(z)}{dz} \approx \pm \sqrt{\frac{2a_4}{b_4} \tanh(-70b_4) \sqrt{\left(\frac{b_4 \cosh(-70b_4)}{2 \tanh(-70b_4)} V(z) + 1 \right)^2 - 1}} \quad (36)$$

Fazendo a segunda substituição:

$$l(z) = \frac{b_4 \cosh(-70b_4)}{2 \tanh(-70b_4)} V(z) + 1 \quad (37)$$

Usando (37) em (36), obtemos:

$$\frac{dl(z)}{dz} \approx \pm \sqrt{\frac{a_4 b_4}{2} \cosh(-70b_4) \sqrt{l(z)^2 - 1}} \quad (38)$$

Resolvendo (38), chegamos a:

$$l(z) = \cosh \left[\sqrt{\frac{a_4 b_4}{2}} \cosh(-70b_4) (h_{\infty} - z) \right] \quad (39)$$

Usando (37) em (39) e lembrando que $V(z) = \phi_4(z) + 70$, chegamos finalmente a:

$$\phi_4(z) = -70 + \frac{2 \tanh(-70b_4)}{b_4 \cosh(-70b_4)} \cosh \left[\sqrt{\frac{a_4 b_4}{2}} \cosh(-70b_4) (h_{\infty} - z) - 1 \right] \quad (40)$$

5. Solução para o glicocálix

Para a região do glicocálix a expressão a ser resolvida, eq.(12), será reescrita como:

$$\frac{d^2 \phi_2(z)}{dz^2} = -\frac{1}{\varepsilon_2} \left(\rho_f + 2Z_2 e \eta_2 \sinh \left[\frac{q_2 \phi_2(z)}{k_B T} \right] \right) \quad (41)$$

definindo:

$$G = -\frac{\rho_f}{\varepsilon_2} \quad (42)$$

e utilizando as equações (18) e (19), podemos reescrever (27) como:

$$\frac{d^2 \phi_2(z)}{dz^2} = G + a_2 \sinh[b_2 \phi_2(z)] \quad (43)$$

Como realizado para as regiões interna e externa, a solução em primeira ordem também nos fornecerá a expressão para o campo elétrico na região 2:

$$E_2(z) = -\frac{d\phi_2(z)}{dz} = -\sqrt{2G\phi_2(z) + 2\frac{a_2}{b_2}\cosh[b_2\phi_2(z)] + \lambda_2} \quad (44)$$

Considerando que em $z \rightarrow h_g$, onde h_g é a posição de fronteira entre o meio externo e o glicocálix, teremos então que o campo elétrico e o potencial nesse ponto serão:

$$\begin{aligned} E_i(z \rightarrow h_g) &= E_g \\ \phi_i(z \rightarrow h_g) &= \phi_g \end{aligned}$$

logo:

$$\lambda_2 = -2\frac{a_i}{b_i}\cosh[b_i\phi_g] + E_g^2 \quad (45)$$

A partir da eq.(44) podemos obter a expressão para o potencial, mas tal qual a solução nas fases interna e externa, é necessário expandir o lado direito da eq(43) em série de Taylor, mas agora a análise se faz em torno de $\phi = \phi_g$, obtendo assim a relação:

$$\sqrt{2G\phi_2 + 2\frac{a_2}{b_2}\cosh[b_2\phi_2] + \lambda_2} = k_0 + k_1(\phi_2 - \phi_g) + k_2(\phi_2 - \phi_g)^2 + \dots \quad (46)$$

onde as contantes dependem dos termos G , a_2 , b_2 e ϕ_g . Usando essa relação (46) em (34), chegamos a:

$$E_2(z) = -\frac{d\phi_2(z)}{dz} = k_0 + k_1(\phi_2(z) - \phi_g) + k_2(\phi_2(z) - \phi_g)^2 + \dots \quad (47)$$

Como novamente os termos acima de segunda ordem pouco interferem em uma análise numérica, teremos:

$$\frac{d\phi_2(z)}{dz} = k_0 + k_1(\phi_2(z) - \phi_g) + k_2(\phi_2(z) - \phi_g)^2 \quad (48)$$

Resolvendo a equação (48), obtemos a expressão para o potencial elétrico dentro da região do glicocálix:

$$\phi_2(z) = \phi_{g1} + \frac{\sqrt{4k_0k_2 - k_1^2}}{2k_2} \tan\left(\sqrt{4k_0k_2 - k_1^2} \frac{(z - h_g)}{2} + \arctan\left(\frac{k_1}{\sqrt{4k_0k_2 - k_1^2}}\right)\right) - \frac{k_1}{2k_2} \quad (49)$$

onde ϕ_{g1} é o potencial na superfície que separa o meio intracelular e o glicocálix.

6. Solução para a bicamada

Como consideramos que a equação de Poisson para a região da bicamada é dada pela expressão (13), teremos então na direção z :

$$\frac{d^2\phi_2(z)}{dz^2} = 0 \quad (50)$$

A solução dessa equação nos fornece a expressão para o campo elétrico nessa região:

$$E_3(z) = -\frac{d\phi_2(z)}{dz} = -l_0 \quad (51)$$

e para o potencial obtemos:

$$\phi_3(z) = l_0z + l_1 \quad (52)$$

onde as constantes l_0 e l_1 serão determinadas pelas condições de contorno apresentadas pela equação (15) e (16). Como nas regiões que limitam a bicamada os campos elétricos e os respectivos potenciais devem ser E_1 , $\phi_1 = \phi_{g2}$, em $z \rightarrow -h/2$ e refere-se ao campo e o potencial na superfície que separa o glicocálix da bicamada, E_2 , ϕ_2 , em $z \rightarrow h/2$, respectivamente, e refere-se ao potencial e o campo na camada que separa a bicamada do meio externo. Sendo assim a eq.(52) é reescrita como:

$$\phi_3(z) = -\frac{(E_{g1} + E_2)}{2}z + \frac{(\phi_2 + \phi_{g1})}{2} \quad (53)$$

7. Discussão e Conclusões

As equações obtidas para o meio interno e externo da membrana do neurônio, apesar de meios com as mesmas características, contendo eletrólitos livres, possuem diferenças marcantes em suas expressões. Isso deve-se aos valores característicos do potencial em cada lado, não sendo inconsistente com o observado experimentalmente. A equação (28) que descreve o potencial no meio externo sugere a queda exponencial do mesmo, enquanto para o meio interno, equação (33), ocorre uma pequena subida, de forma quadrática, a medida que ocorre uma entrada na membrana.

Para a região do glicocálix e da bicamada foram encontradas expressões que dentro do limite esperado possuem perfil retilíneo, indicando que deve existir uma queda do potencial dentro dessas regiões de forma linear. A queda esperada para esse potencial, deve-se ao fato do valor convencionalizado para o potencial na região interna a membrana, que é de -70 mV.

8. Referências Bibliográficas

- [1] Cortez, C.M., Silva D. *Fisiologia aplicada à Psicologia*, vol. 1, Rio de Janeiro: Editora Guanabara Koogan, 2007.
- [2] Okuno, E., Caldas, I.L., Chow, C. *Física Para Ciências Biológicas e Biomédicas*. São Paulo, Editora Harbra Ltda, 1986.
- [3] Smith, N.P.; Crampin, E.J. *Development of models of active ion transport for whole-cell modelling: cardiac sodium-potassium pump as a case study*. Prog. Biophys. Mol.Biol., 85:385-405, 2004.
- [4] Endresen, L.P.; Hall, K. *A theory for the membrane potential of cells*. E-print arXiv:physics/9711016, 1997.
- [5] Chang, D. *Dependence of Cellular Potential on Ionic Concentration: Data Supporting a Modification of the Constant Field Equation*, Biophys. J., 43:149-156, 1983.
- [6] Heinrich, R.; Gaestel, M.; Glaser, R. *The electric potential profile across the erythrocyte membrane*. J. Theor. Biol., 96:211-231, 1982.
- [7] Cevc, G. *Membrane electrostatics*. Biochim. Biophys. Acta, 1031:311-382, 1990.
- [8] Baker, J.; Coakley, W.T.; Gallez, D. *Influence of polymer concentration and molecular weight and of enzymic glycocalyx modification on erythrocyte interaction in dextran solutions*. Eur. Biophys., 22:53-62, 1993.
- [9] Schnebli, H.P.; Roeder, C.; Tarcsay, L. *Reaction of lectins with human erythrocytes*. Exper. Cell Res., 98:273-276, 1976.
- [10] Cruz, F.A.O.; Vilhena, F.S.D.S.; Cortez, C.M. *Solution of Non-Linear Poisson-Boltzmann Equation for Erythrocyte Membrane*. Braz. J. Phys., 30:403-409, 2000.
- [11] Donath, E.; Pastushenko.V. *Electrophoretical study of cell surface properties. The influence of the surface coat on the electric potential distribution and on general electrokinetic properties of animal cells*. J. Electroanal. Chem., 104:543-554, 1979.

- [12] Cortez, C.M.; Bisch, P.M. *The Effect of Ionic Strength and Outer Surface Charges on the Mechanical Stability of the Erythrocyte Membranes: A Linear Hydrodynamics Analysis*. J. Theor. Biology, 176:325-339, 1995.
- [13] Manevich, E.M.; Lakin, K.M.; Archakov, A.I. Li, V.S.; Molotkovsky, J.G.; Bezuglov, V.V.; Bergelson, L.D. *Influence of cholesterol and prostaglandin E1 on the molecular organization of phospholipids in the erythrocyte membrane. A fluorescent polarization study with lipid-specific probes*. Biochim. Biophys. Acta, 815:455-460, 1985.
- [14] Lehninger, A.L. *The Neuronal Membrane*. PNAS, 60:1069-1080, 1968.
- [15] Macedo, A. *Eletromagnetismo*. Rio de Janeiro: Guanabara, 1988.
- [16] Soares, T.A., Ferreira, R. *Aplicação da equação de Poisson-Boltzmann ao cálculo de propriedades dependentes do pH em proteínas*. Química Nova, 27(4):640-647, 2004.
- [17] Maghelly, C.C., Bish, P.M. *The effect of ionic strength and outer surface charge on the membrane electric potential profile: a simple model for the erythrocyte membrane*. Bioelectrochemistry and Bioenergetics, 32:305-315, 1993.
- [18] Quillfeldt, J.A. *Origem dos potenciais elétricos das células nervosas*. Porto Alegre: Departamento de Biofísica - Universidade Federal do Rio Grande do Sul, 2005.